

## 메탄올을 환원제로 사용하는 과잉산소 분위기에서 $\text{La}_2\text{O}_3$ 촉매를 이용한 NO의 환원에 관한 연구

김 상 환<sup>1)</sup> · 유 현 주<sup>1)</sup> · 박 정 규<sup>\*2)</sup>

건국대학교 화학공학과<sup>1)</sup> · 건국대학교 기계공학과<sup>2)</sup>

## Catalytic Reduction of Nitric Oxide in Oxygen-Rich Exhaust with Methanol over $\text{La}_2\text{O}_3$ Catalysts

Sang Hwan Kim<sup>1)</sup> · Hyun Ju Yoo<sup>1)</sup> · Jung-Kyu Park<sup>\*2)</sup>

<sup>1)</sup>Department of Chemical Engineering, Konkuk University, Seoul 143-701, Korea

<sup>2)</sup>Department of Mechanical Engineering, Konkuk University, Seoul 143-701, Korea

(Received 8 September / Accepted 31 January 2005)

**Abstract :** Nitric oxide(NO) reduction by methanol was investigated over  $\text{La}_2\text{O}_3$  catalysts in the presence and absence of oxygen. In the absence of  $\text{O}_2$ ,  $\text{CH}_3\text{OH}$  reduced NO to both  $\text{N}_2$  and  $\text{N}_2\text{O}$ , with selectivity to  $\text{N}_2$  formation decreasing from 81-88% at 623K to 47-71% at 723K. With 1.2%  $\text{O}_2$  in the feed, the rates were 4-8 times higher, but the selectivity to  $\text{N}_2$  dropped from 50% at 623K to 9% at 723K. The specific activities with  $\text{La}_2\text{O}_3$  for this reaction were higher than those for other reductants; for example, at 773K with hydrogen a specific activity of  $34 \mu\text{mol NO/sec} \cdot \text{m}^2$  was obtained whereas that for methanol was  $638 \mu\text{mol NO/sec} \cdot \text{m}^2$ . The Arrhenius plots were linear under differential reaction conditions, and the apparent activation energy was consistently near 15 kcal/mol with  $\text{CH}_3\text{OH}$ . Linear partial pressure dependencies based on a power rate law were obtained and showed a near-zero order in  $\text{CH}_3\text{OH}$  and a near-first order in  $\text{H}_2$ .

**Key words :** Nitric oxide(일산화질소), NO reduction(NO 환원), Methanol(메탄올),  $\text{La}_2\text{O}_3$ (산화란타늄), Excess oxygen(과잉산소)

### 1. 서 론

자동차 엔진과 공장 보일러에서 배출되는 질소 산화물( $\text{NO}_x$ )은 유독한 환경 오염물질로 산성비와 오존을 형성하여 인체 및 동물에 심각한 피해를 주고 있다.<sup>1)</sup> 따라서, 미국에서는 일찍이 1970년부터 이에 대한 규제를 시작하였고 점차적으로 이의 규제는 강화되어 왔으며 질소산화물을 일정한 수준 이상으로 제거하기 위하여는 촉매를 사용하여야 한다.<sup>2)</sup> 자동차의 촉매전환기에 사용되고 있는 백

금(Pt), 팔라듐(Pd) 및 로듐(Rh)을 담지한 삼원촉매(Three-Way Catalyst)는 양론적인 공연비에서는 매우 효과적이나,<sup>3)</sup> 디젤엔진이나 가솔린엔진의 희박연소 조건에서는 질소산화물을 효과적으로 제거할 수 없다.<sup>4)</sup> 더욱이, 촉매가 장기간 산소에 노출되면 활성이 떨어진다. 대부분의 고정원에서 배출되는 질소산화물은 암모니아를 환원제로 사용하는 촉매환원법(Selective Catalytic Reduction, SCR)을 사용하여 제거하고 있고 산소의 존재하에서도 촉매의 성능이 우수하나, 암모니아의 저장, 수송 및 배출로 인한 안전, 환경 및 경제적인 문제점이 해결해야 할 과제이다. 따라서, 희박연소의 산화분위

\*To whom correspondence should be addressed.

jungkyup@konkuk.ac.kr.

기에서 질소산화물을 효과적으로 제거하고 환경 오염의 염려가 없는 경제적인 방법의 개발이 필요하다.

최근에 산화분위기에서 메탄을 사용하여 NO를 제거하는 Cu-ZSM-5 촉매가 발견되면서,<sup>5)</sup> 이온교환 제올라이트(Ion-Exchanged Zeolite), 금속산화물(Metal Oxide), 담체에 지지한 귀금속(Noble Metal) 및 금속산화물(Metal Oxide) 촉매에 대한 관심이 높아지면서 NO를 제거하기 위하여 탄화수소를 환원제로 사용하는 연구가 다양하게 진행되고 있다.<sup>6,7)</sup>

이러한 새로운 공정들은 삼원촉매와는 다르게 산소의 존재에 의하여 촉매의 활성이 증가하나 673K 이상의 고온에서는 촉매의 활성이 급격히 떨어지고(Bend-Over), 수증기나 황산화물이 존재하는 경우에 촉매의 활성이 떨어지는 문제점이 있다.<sup>8)</sup>

여러 가지의 연구결과가 NO의 환원제로 알콜이 매우 바람직하다고 발표하였다. 이중에서 Hamada 등<sup>9)</sup>은 673K 이하의 저온에서 산소가 존재하는 경우에도 메탄올이 우수한 환원제의 역할을 한다는 사실을 발견하였다. 메탄올이 Cu-ZSM-5 촉매상에서는 NO의 환원에 대한 활성을 거의 나타내고 있지 않으나, 알루미나,<sup>9-13)</sup> 금속으로 담지시킨 알루미나<sup>3,9,11-13)</sup> 및 다른 종류의 제올라이트<sup>3,9)</sup>에서는 NO에 대한 활성을 보여주었다. 더욱이, 금속으로 담지시킨 알루미나는 산소 및 수증기의 존재에서도 NO의 환원에 대한 활성, 안전성 및 선택성을 나타내었다. 그러나, 메탄올에 의하여 NO의 환원반응을 지배하는 반응메카니즘에 대한 연구는 거의 진행되지 않고 있다. Hamada 등<sup>9)</sup>은 산소의 존재 하에 메탄올이 높은 활성을 나타내는 데는 이산화질소( $\text{NO}_2$ )의 형성이 매우 중요한 역할을 한다고 제안하였고 산소가 존재하지 않으면 873K 이하에서 메탄올에 의하여 알루미나 촉매상에서 NO가 많은 양이 환원되지 않으나  $\text{NO}_2$ 는 573K에서 아주 높은 활성을 보여주었다. Tabata 등<sup>13)</sup>은 금속을 담지시킨 촉매에 있어 금속 자체로는 활성을 나타내지 않으나 금속과 알루미나의 상호작용에 의하여 촉매의 활성을 증가시킨다고 주장하였다. Huang 등<sup>14)</sup>은 산소가 존재하는 경우에 NO가 산화란타늄( $\text{La}_2\text{O}_3$ ) 촉매상에서 일산화탄소( $\text{CO}$ ) 및 수소( $\text{H}_2$ )와

반응하여 환원된다고 발표하였다.

따라서, 메탄올이  $\text{La}_2\text{O}_3$  촉매상에서 NO와 반응하여 우수한 환원제의 역할을 할 수가 있다고 기대할 수 있으며 본 연구에서는 산소가 존재하는 경우에  $\text{La}_2\text{O}_3$  촉매상에서 메탄올에 의하여 NO를 환원시키는 반응에 대하여 촉매의 활성과 선택성을 살펴보고 NO 환원반응의 반응속도론을 살펴보고자 한다.

## 2. 실험방법

본 실험에서 사용한  $\text{La}_2\text{O}_3$ (Aldrich, 99.9%) 촉매는 먼저 1023K에서 산소를 흘려 보내면서 10시간 동안 소성시켰고, 이의 표면적은 BET Surface Analyzer(Micrometrics Co. ASAP 2000)을 이용하여  $\text{N}_2$ 를 물리흡착시켜 측정하였다. 반응속도론은 이미 기술된 바있는 미소반응기를 사용하여 1기압에서 실현하였다.<sup>15)</sup> 반응기 전후에 있어서 혼합기체의 농도는 Mass Spectrometer(Ametek Co. M200), Gas Chromatograph(Yanaco Co. G-3800) 그리고 Chemiluminescence NO- $\text{NO}_2$ - $\text{NO}_x$  Analyzer(Thermo Environmental Instruments Co. 42C)를 사용하여 혼합기체의  $\text{H}_2$ ,  $\text{N}_2$ ,  $\text{O}_2$ , NO, CO,  $\text{CO}_2$ ,  $\text{N}_2\text{O}$  및  $\text{CH}_3\text{OH}$  등의 농도를 측정하였다.  $\text{H}_2\text{O}$  피크는 관측되었으나 정량적으로 분석할 수 없었으며 NO 환원반응의 부산물인 methyl nitrite( $\text{CH}_3\text{ONO}$ ) 및 formaldehyde( $\text{HCHO}$ )는 양이 적어 분석에 어려움이 있었다. 가스크로마토그래프는 이들을 분리하기 위하여 Chromosorb 102 Column ( $0.32\text{mm} \times 2.5\text{m}$ )을 사용하였으며 기체를 분석하기 이전에 453K에서 헬륨을 30cc(STP)/min.으로 1시간동안 흘려 보내어 활성화시켰다. 온도는 232K에서 2-2.5분간 유지시켰다가 35-40K/min의 가열속도로 453K까지 가열시켜 이온도에서 3-5분간 유지시켜 전체적으로 분석시간은 11-14분이 소요되었다.

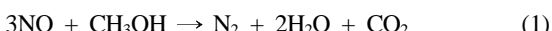
촉매는 실험을 시작하기 전에 973K에서 9.8%  $\text{O}_2/\text{He}$  가스를 20cc/min.의 유량으로 1시간동안 흘려보내 탄소의 침적물을 제거시켰다. 실험에 사용한 가스는 4.0% NO/ $\text{He}$ , 9.80%  $\text{O}_2/\text{He}$  그리고 운반가스로 He을 사용하였으며, 가스의 순도는 NO 및  $\text{O}_2$ 가 99% 이상 그리고 He는 99.999% 이상으로 고순도

의 가스를 사용하였다. 순수한 헬륨을 열음으로 채워져 273K를 유지하고 있는 메탄올 기포발생기를 통과시켜 메탄올을 반응기에 공급하였으며 기포발생기로부터 반응기에 이르는 관은 메탄올의 응축을 방지하기 위하여 323K로 가열시켰다.

산소가 존재하지 않는 경우에 Arrhenius plot을 얻기 위하여 623-823K에서 NO의 환원반응을 일으켰고 공급물의 유량은 45cc(STP)/min.를 유지시켜 최종적으로 반응기에 공급되는 NO 및 CH<sub>3</sub>OH의 농도는 각각 1.8% 및 0.6%가 되도록 하였다. 산소가 존재하는 경우에는 공급물중의 각각의 가스농도는 유사하나 공급물의 유량이 45cc(STP)/min.인 경우에 1.2% O<sub>2</sub>가 공급물에 존재하도록 조절하였다. 산소가 존재하는 경우에는 298-773K의 넓은 온도범위에 대하여 고찰하였다. NO 환원반응의 NO 및 CH<sub>3</sub>OH에 대한 반응차수를 결정하기 위하여 산소가 존재하지 않는 경우에는 다른 반응물의 분압을 일정하게 유지시킨 가운데 한 반응물의 분압을 변화시키면서 723-798K 사이의 다른 네가지 온도에서 실험을 수행하였다. 반응기의 조건이 미분반응기를 유지할 수 있도록 전화율이 20% 이하가 되도록 하였으며 반응차수를 결정하기 위하여 면수반응속도(Power Rate Law)를 가정하였다. CH<sub>3</sub>OH에 대한 반응차수를 결정하기 위하여는 NO의 분압을 14 Torr(1.8%)에서 일정하게 유지시키고 CH<sub>3</sub>OH의 분압을 2.3-16 Torr(0.3-2.1%)사이에서 변화시켰으며, 반면에 NO에 대한 반응차수는 CH<sub>3</sub>OH의 분압을 12 Torr(1.5%)에 유지시키고 NO의 분압을 3.6-19 Torr(0.5-2.5%)사이에서 변화시키면서 실험을 수행하여 결정하였다.

### 3. 결과 및 고찰

촉매를 소성시킨 후에 측정한 BET 표면적은 2.2 m<sup>2</sup>/g으로 매우 낮게 나타났다. 공급물에 포함된 1.8%의 NO와 0.6%의 CH<sub>3</sub>OH는 아래의 식 (1)에서 알 수 있는 바와 같이 NO를 완전하게 환원시킬 수 있는 양론적인 비이다.



그러나, NO의 환원반응에 의하여 부산물로 N<sub>2</sub>O

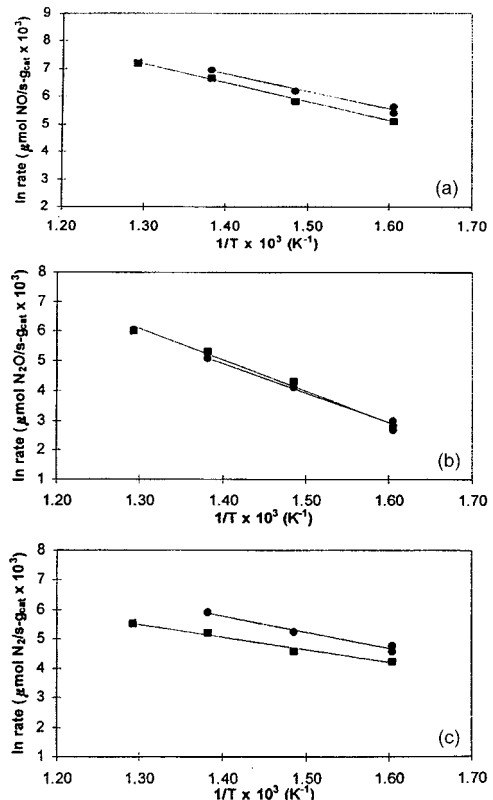


Fig. 1 Arrhenius plots for (a) NO disappearance, (b) N<sub>2</sub> formation and (c) N<sub>2</sub>O formation. Reaction conditions: 1.8% NO, 0.6% CH<sub>3</sub>OH in He, P<sub>t</sub> = 760 torr

가 함께 생성될 수도 있다.

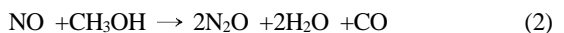


Fig. 1(a)에 나타난 바와같이 NO가 N<sub>2</sub> 및 N<sub>2</sub>O로 전환하는 데 소요되는 활성화에너지(Activation Energy)를 결정하기 위하여 두가지 촉매를 사용하여 실험을 수행함으로써 이에 대한 오차를 최소화하였다. NO의 환원반응에 의하여 부산물로 N<sub>2</sub>O가 생성됨으로 N<sub>2</sub> 및 N<sub>2</sub>O 생성에 대한 활성화에너지를 결정하기 위하여 각각의 Arrhenius plot을 Fig. 1(b) 및 (c)에 도시하였다. 이들에 대한 활성화에너지, N<sub>2</sub> 및 N<sub>2</sub>O 생성에 대한 활성화에너지와 N<sub>2</sub>에 대한 선택도(Selectivity)를 Table 1에 요약하여 놓았으며 N<sub>2</sub>에 대한 선택도는 다음의 식 (3)과 같이 정의하였다.

$$\text{선택도} = \frac{\text{N}_2\text{의 몰수}}{\text{N}_2\text{의 몰수} + \text{N}_2\text{O의 몰수}} \times 100\% \quad (3)$$

Table 1 Arrhenius runs for NO reduction by  $\text{CH}_3\text{OH}$ <sup>a</sup>

Run	NO	N <sub>2</sub> formation				N <sub>2</sub> O formation		Selectivity to N <sub>2</sub> (%)	
		E <sub>a</sub> (kcal/mol)	E <sub>a</sub> (kcal/mol)	Activity( $\mu\text{mol}/\text{sm}^2 \times 10^3$ ) 623K	Activity( $\mu\text{mol}/\text{sm}^2 \times 10^3$ ) 723K	Ea (kcal/mol)	Activity( $\mu\text{mol}/\text{sm}^2 \times 10^3$ ) 623K	Activity( $\mu\text{mol}/\text{sm}^2 \times 10^3$ ) 723K	623K
1 <sup>b</sup>	13	9	49	183	21	6.6	74	88	71
2 <sup>b</sup>	15	12	31	82	20	7.0	93	81	47
3 <sup>c</sup>	17	8	30	58	21	30.0	607	50	9
3 <sup>d</sup>	19	(-6)	28	15	28	10.0	596	74	2

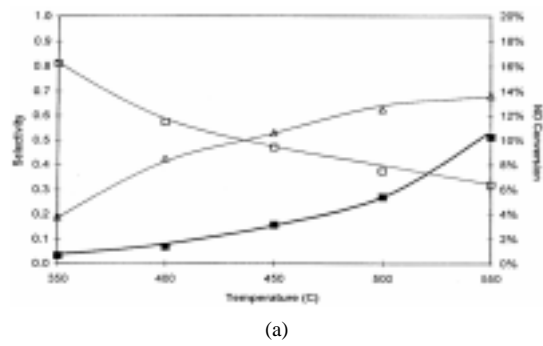
a Reaction conditions : 1.8% NO, 0.6%  $\text{CH}_3\text{OH}$ , balance He,  $P_t = 760$  torr.b 0% O<sub>2</sub> in feed.c 1.2% O<sub>2</sub> in feed, no correction for homogeneous reaction.d 1.2% O<sub>2</sub> in feed, contribution from homogeneous subtracted.Table 2 Comparison of NO reduction over  $\text{La}_2\text{O}_3$ (0% O<sub>2</sub>)

Reducant	Ea(kcal/mol)			Activity at 773K( $\mu\text{mol}/\text{sm}^2 \times 10^3$ )		
	NO	N <sub>2</sub>	N <sub>2</sub> O	NO	N <sub>2</sub>	N <sub>2</sub> O
CH <sub>4</sub> <sup>a</sup>	19	19	-	3.5	1.7	-
H <sub>2</sub> <sup>a</sup>	-	31	29	34.0	3.5	13.6
CO <sup>a</sup>	-	35	19	15.0	0.9	6.6
CH <sub>3</sub> OH <sup>b</sup>	15	10	21	638	128	191

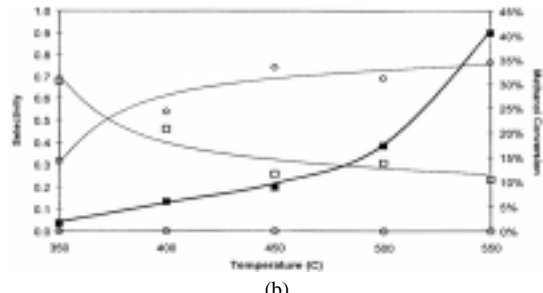
a Taken from [15]. Reaction conditions: 1.7% NO and 0.45% CH<sub>4</sub> or 1.7% H<sub>2</sub> or 1.7% CO in He.b Reaction conditions: 1.8% NO and 0.6%  $\text{CH}_3\text{OH}$  in He.

활성화에너지는 NO 및  $\text{CH}_3\text{OH}$ 의 전화율이 20% 이하인 실험에서 얻은 자료만을 사용하여 Arrhenius plot으로부터 구하였다. NO를 환원시킬 때 N<sub>2</sub>O가 다량으로 생성됨으로 N<sub>2</sub> 및 N<sub>2</sub>O의 생성에 대한 활성화에너지를 구하기 위하여 이들의 Arrhenius plot을 Fig. 1(b) 및 1(c)에 도시하였다. NO의 환원반응에서 산소가 존재하지 않을 경우에 환원제로  $\text{CH}_3\text{OH}$ 를 사용하는 경우의 활성화 에너지는 환원제로 CH<sub>4</sub>, H<sub>2</sub> 및 CO를 사용하는 경우의 활성 및 활성화에너지와 비교하여 Table 2에 요약하여 놓았다. 이에 의하면 환원제인  $\text{CH}_3\text{OH}$ 도 CO 및 H<sub>2</sub>와 같이 NO의 환원시에 N<sub>2</sub>는 물론 많은 양의 N<sub>2</sub>O를 생성하나  $\text{CH}_3\text{OH}$ 를 사용하는 경우에는 N<sub>2</sub> 생성에 대한 활성화 에너지가 훨씬 적음을 알 수 있다. 더욱이 활성은  $\text{CH}_3\text{OH}$ 를 환원제로 사용할 때가 H<sub>2</sub>를 환원제로 사용할 때에 비하여 20배 정도, CO를 환원제로 사용할 때에 비하여 40배 정도 높음을 확인할 수 있었다.

메탄은 CO<sub>2</sub> 및 CO로 산화되며 CO<sub>2</sub>는 식 (1)에서 알 수 있는 바와같이 NO의 환원반응시에 N<sub>2</sub>와 함께 생성되는 반면에, CO는 식 (2)에 나타난 바와



(a)



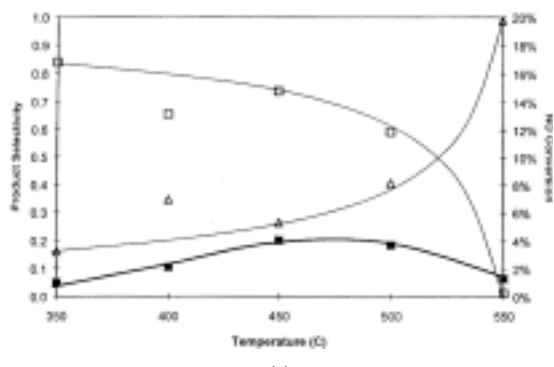
(b)

Fig. 2 Product formation during NO reduction by  $\text{CH}_3\text{OH}$  over  $\text{La}_2\text{O}_3$  in the absence of O<sub>2</sub>. (a) N-based products: (□) N<sub>2</sub>, (△) N<sub>2</sub>O, (■) NO conversion; (b) C-based products: (◇) CO, (□) CO<sub>2</sub>, (○) HCHO, (■)  $\text{CH}_3\text{OH}$  conversion. Reaction conditions: 1.8% NO, 0.6%  $\text{CH}_3\text{OH}$  in He,  $P_t = 760$  torr

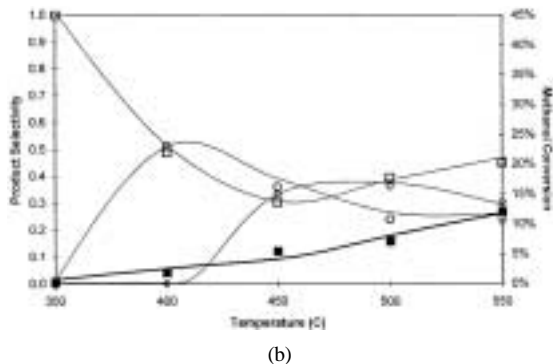
같이 NO의 환원반응시에  $\text{N}_2\text{O}$ 와 함께 생성된다. Fig. 2(a)와 2(b)를 비교하여 보면 이러한 경향을 확인할 수가 있다. NO의 환원반응시에 예상되는 균일계 기상반응(Homogeneous Gas-Phase Reaction)을 고찰하기 위하여 반응기에 촉매를 채우지 않은 상태에서 빈반응기실험(Blank Test)을 하였다. Fig. 3에서 알 수 있는 바와같이 산소가 존재하지 않는 경우에는 673K 이상에서는 균일계 기상반응이 NO의 환원반응에 작은 역할밖에 할 수 없고  $\text{La}_2\text{O}_3$ 가 NO의 환원반응에서  $\text{HCHO}$ 의 발생을 저해하고 있음을 확인할 수 있었다.

위 반응에서 1.2%  $\text{O}_2$ 가 존재하는 경우에 유량, NO 및  $\text{CH}_3\text{OH}$  농도가 동일한 조건에서 산소의 영향을 살펴본 결과에 의하면 산소가 존재하지 않을 때와 비교하여 Fig. 4에 나타난 바와같이 산소가 존

재할 때에는 균일계 기상반응이 중요한 역할을 할 수 있다. 두가지 경우에 커다란 차이점은 모든 온도범위에서 메탄올의 전화율이 크게 다르다는 것이다. 산소가 존재하는 경우에는 573K의 저온에서도 메탄올의 전화율이 40%에 이르며 많은 양의 methyl nitrite가 생성된다. 이 반응은 실온에서도 일어날 수 있는데 NO,  $\text{O}_2$  및  $\text{CH}_3\text{OH}$ 가 여러단계의 균일계 기상반응을 일으켜 methyl nitrite를 생성시킬 수도 있다. Koda 등<sup>16)</sup>은  $\text{N}_2\text{O}_4$ 가 methyl nitrite를 형성하는데 참여하고 있다고 제안하였다.

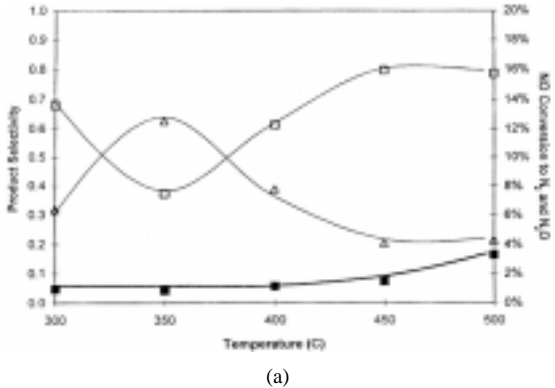


(a)

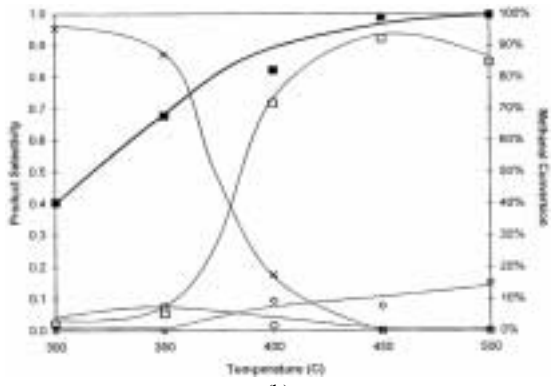


(b)

Fig. 3 NO reduction by  $\text{CH}_3\text{OH}$  in the absence of  $\text{O}_2$  in empty reactors. (a) N-based products: (□)  $\text{N}_2$ , (△)  $\text{N}_2\text{O}$ , (■) NO conversion; (b) C-based products: (◇) CO, (□)  $\text{CO}_2$ , (○)  $\text{HCHO}$ , (■)  $\text{CH}_3\text{OH}$  conversion. Reaction conditions: 1.8% NO, 0.6%  $\text{CH}_3\text{OH}$  in He,  $P_t=760$  torr



(a)



(b)

Fig. 4 NO reduction by  $\text{CH}_3\text{OH}$  in the presence of  $\text{O}_2$  in empty reactors. (a) N-based products: (□)  $\text{N}_2$ , (△)  $\text{N}_2\text{O}$ , (■) NO conversion; (b) C-based products: (◇) CO, (□)  $\text{CO}_2$ , (○)  $\text{HCHO}$ , (x) methyl nitrite, (■)  $\text{CH}_3\text{OH}$  conversion. Reaction conditions: 1.8% NO, 0.6%  $\text{CH}_3\text{OH}$  in He,  $P_t=760$  torr



Methyl nitrite는 673K 이상의 온도까지 생성물에 많은 양이 존재하며 N<sub>2</sub>와 N<sub>2</sub>O의 생성은 저해를 받음을 알 수 있다.

Fig. 5에 NO, CH<sub>3</sub>OH 및 O<sub>2</sub>사이의 반응에서 La<sub>2</sub>O<sub>3</sub>의 영향을 도시하였다. 균일계 기상반응이 활발하게 일어나고 673K 이하에서는 이 반응에 촉매가 중요한 역할을 하지 못하며 700K 이하에서는 methyl nitrite가 많은 양이 형성됨을 알 수 있다. 그러나 673K 이상에서는 La<sub>2</sub>O<sub>3</sub>는 NO의 전화율을 증가시키고, HCHO의 생성을 억제하며 높은 수율로 CO를 생성시킴을 확인할 수 있었다. Fig. 6에 반응속도에

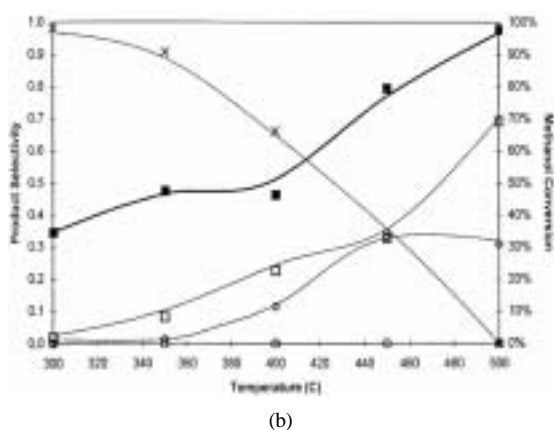
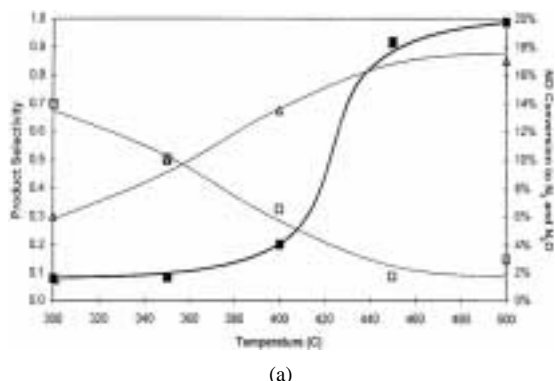


Fig. 5 NO reduction by CH<sub>3</sub>OH over La<sub>2</sub>O<sub>3</sub> in the presence of O<sub>2</sub>. (a) N-based products: (□) N<sub>2</sub>, (△) N<sub>2</sub>O, (■) NO conversion; (b) C-based products: (◇) CO, (□) CO<sub>2</sub>, (○) HCHO, (×) methyl nitrite, (■) CH<sub>3</sub>OH conversion. Reaction conditions: 1.8% NO, 0.6% CH<sub>3</sub>OH in He, P<sub>t</sub> = 760 torr

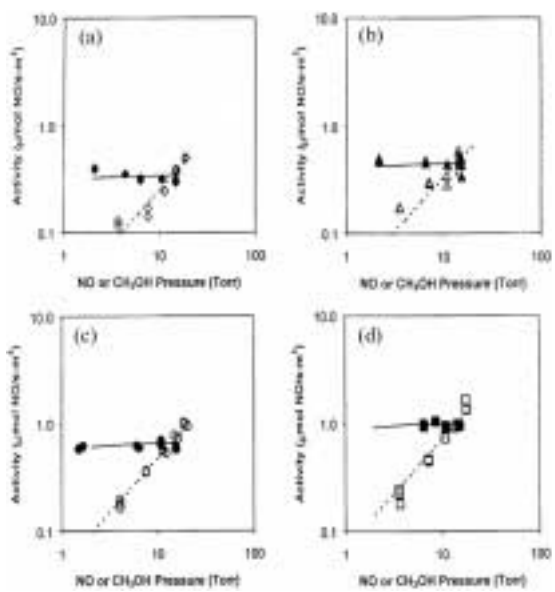


Fig. 6 Determination of reaction orders on NO and CH<sub>3</sub>OH partial pressures: (a) 723, (b) 748, (c) 773, and 798K. Solid lines and points represent CH<sub>3</sub>OH and dashed lines and open symbols represent NO

관한 면수법칙을 이용하여 구한 반응물 분압에 대한 반응차수로부터 CH<sub>3</sub>OH에 대한 반응차수는 0에 가까운 값이며 NO에 대한 반응차수는 거의 1에 가까운 값임을 알 수 있으며 Table 3에 온도에 따른 반응차수를 요약하여 놓았다.

Table 3 Reaction order for NO reduction with CH<sub>3</sub>OH(0% O<sub>2</sub>)

Temperature (K)	Reaction order (CH <sub>3</sub> OH)	Reaction order (NO)
NO disappearance	-0.1	0.9
723	-0.1	0.9
748	-0.1	0.7
773	-0.1	1.0
798	-0.1	1.0

#### 4. 결론

산소가 존재하지 않을 때와 존재할 때에 La<sub>2</sub>O<sub>3</sub> 촉매상에서 CH<sub>3</sub>OH을 이용한 NO의 환원에 대하여 살펴 보았다. 산소가 존재하지 않을 경우에는 N<sub>2</sub> 생성에 대한 활성은 다른 환원제인 CH<sub>4</sub>, H<sub>2</sub> 및 CO를 사용할 경우보다 훨씬 큼을 알 수 있다. 그러나 CH<sub>3</sub>OH는 CH<sub>4</sub>에 비하여 N<sub>2</sub>/N<sub>2</sub>O의 비에 대한 낮은

선택도를 나타내어 이를 증가시키는 연구가 필요 하나  $\text{H}_2$  및  $\text{CO}$ 와 비교하는 경우에는 비슷한 값을 보여 주었다.  $\text{NO}$ 의 환원반응에서  $\text{CH}_3\text{OH}$ 에 대한 활성화에너지는 15 kcal/mol을 나타내었고  $\text{CH}_3\text{OH}$  및  $\text{NO}$ 에 대한 반응차수는 각각 -0.1 및 1.0을 알 수 있었다. 산소가 존재할 경우에는  $\text{NO}$ 의 환원반응은 300K에서  $\text{CH}_3\text{OH}$ 가 30% 이상 methyl nitrite로 전환하는 균일계 기상반응에 의하여 매우 복잡해짐을 알 수 있다. 이러한 반응은 623K이하에서 관측된 반면에 고온에서는 전형적인 산화에 의한 생성물인  $\text{CO}_2$  및  $\text{H}_2\text{O}$ 가 생성되었다. 특히 623-823K에서는  $\text{NO}$ 의  $\text{N}_2$  및  $\text{N}_2\text{O}$ 로의 전환율은 산소가 존재하지 않을 때보다 아주 높은 값을 보여 주었다. 메탄올에 의한  $\text{NO}$ 의 환원은 다른 촉매에 비하여  $\text{La}_2\text{O}_3$ 가 넓은 온도범위에 걸쳐 활성을 나타내고 더욱 우수한 촉매활성을 보여줌을 확인할 수 있었다.

## 후 기

본 연구는 2002년도 건국대학교 교원연구년의 지원과 연구년을 보낼 수 있도록 협력하여 준 Pennsylvania State University의 협조로 수행되었으며 이에 감사드립니다.

## References

- 1) M. Shelef, "Selective Catalytic Reduction of  $\text{NO}_x$  with N-free Reductants," *Chem. Rev.*, Vol.95, p.209, 1995.
- 2) K. C. Taylor and J. C. Schlatter, "Selective Reduction of Nitric Oxide over Noble Metals," *J. Catal.*, Vol.63, p.53, 1980.
- 3) K. C. Taylor, "Automobile Catalytic Converters," *Catal. Rev. Sci. Eng.*, Vol.35, p.457, 1993.
- 4) K. Masuda, K. Tsujimura, K. Shinoda and T. Kato, "Silver-Promoted Catalysts for Removal of Nitrogen Oxides from Emission of Diesel Engines," *Appl. Catal. B*, Vol.8, p.33, 1996.
- 5) M. Iwamoto, H. Furakawa, Y. Mine, F. Uemura, S. Mikuyira and S. Kagawa, *J. Chem. Soc. Chem. Commun.*, p.1272, 1986.
- 6) J. N. Armor, "Environmental Catalysts," *Appl. Catal. B*, Vol.1, p.221, 1992.
- 7) F. J. Janssen, *Handbook of Heterogeneous Catalysis*, Wiley-VCH, FRG, 1997.
- 8) K. C. C. Kharas, H. J. Robota and D. J. Liu, "Deactivation in Cu-ZSM-5 Lean-Burn Catalysts," *Appl. Catal.B*, Vol.2, p.225, 1993.
- 9) H. Hamada, Y. Kintaichi, M. Sadaki, T. Ito and T. Yoshinari, "High Efficiency of Alumina and H-Zeolite Catalysts for Selective Reduction of Nitrogen Monoxide by Methanol in the Presence of Oxygen and Water Vapor," *Appl. Catal.A*, Vol.88, p.L1, 1992.
- 10) T. Yamamoto, A. Noda, T. Sakamoto and Y. Sato, *Soc. Automot. Eng., Soc. Publ.*, Vol.1140, p.113, 1996.
- 11) M. Tabata, H. Tsuchida, K. Miyamoto, T. Yoshinari, H. Yamazaki, H. Hamada, Y. Kintaichi, M. Sasaki and T. Ito, "Reduction of  $\text{NO}_x$  in Diesel Exhaust with Methanol over Alumina Catalysts," *Appl. Catal.B*, Vol.6, p.169, 1995.
- 12) S. G. Masters and D. Chadwick, "Selective Catalytic Reduction of Nitric Oxide from Stationary Diesel Sources by Methanol over Promoted Alumina Catalysts," *Catal. Today*, Vol.42, p.137, 1998.
- 13) M. Tabata, H. Hamada, F. Suganuma, Y. Yoshinari, H. Tsuchida, Y. Kintachi, M. Sasaki and T. Ito, *Catal. Lett.*, Vol.25, p.55, 1994.
- 14) S. J. Huang, A. B. Walters and M. A. Vannice, " $\text{NO}$  Reduction with  $\text{H}_2$  or  $\text{CO}$  over  $\text{La}_2\text{O}_3$  and Sr-Promoted  $\text{La}_2\text{O}_3$ ," *J. Catal.*, Vol.173, p.229, 1998.
- 15) S. H. Kim and J.-K. Park, "Catalytic Removal of Nitric Oxide in Oxygen-Rich Exhaust with Methane over Metal Ion-Exchanged Zeolites," *Transactions of KSAE*, Vol.10, p.32, 2002.
- 16) S. Koda, K. Yoshikawa, J. Okada and K. Akita, "Reaction Kinetics of Nitrogen Dioxide with Methanol in the Gas Phase," *Environ. Sci. Technol.*, Vol.19, p.262, 1985.